

رونده تغییرات ماکرونوترینت (مواد معدنی) آب در سواحل ایرانی حوزه جنوبی دریای خزر

حسن نصراله‌زاده ساروی^{۱*}، رضا پورغلام^۲، فربنا واحدی^۳، آسیه مخلوق^۴، سیدابراهیم صفوی^۵

- ۱- استادیار و عضو هیئت علمی پژوهشکده اکولوژی دریای خزر، استان مازندران، ساری، پست الکترونیکی:
hnsaravi@yahoo.com
- ۲- استادیار و عضو هیئت علمی پژوهشکده اکولوژی دریای خزر، استان مازندران، ساری، پست الکترونیکی:
r_pourgholam@yahoo.com
- ۳- کارشناس آزمایشگاه هیدروشیمی پژوهشکده اکولوژی دریای خزر، استان مازندران، ساری، پست الکترونیکی:
vahedi_friba@yahoo.com
- ۴- کارشناس ارشد آزمایشگاه پلاتکتون پژوهشکده اکولوژی دریای خزر، استان مازندران، ساری، پست الکترونیکی:
asieh_makhlough@yahoo.com
- ۵- کارشناس ارشد موسسه تحقیقات شیلات ایران، پیکان شهر، استان تهران، تهران، پست الکترونیکی:
asieh_makhlough@yahoo.com

تاریخ پذیرش: ۱۹/۰۴/۹۱

*نویسنده مسؤول

تاریخ دریافت: ۱۴/۱۲/۹۰

© نشریه علمی - پژوهشی اقیانوس‌شناسی ۱۳۹۱، تمامی حقوق این اثر متعلق به نشریه اقیانوس‌شناسی است.

چکیده

این مطالعه به بررسی مواد معدنی آب سواحل ایرانی منطقه جنوبی دریای خزر طی چهار فصل در هشت ترانسکت عمود بر ساحل (آستانه، انزلی، سفید رود، تنکابن، نوشهر، بابلسر، امیر آباد و بندر ترکمن) در سال ۱۳۸۸ می‌پردازد. تعداد ۴۸۰ نمونه آب در لایه‌های مختلف نمونه‌برداری و سپس پارامترهای مواد معدنی آن با روش استاندارد اندازه‌گیری گردید. غلاظت سالانه ازت معدنی (NH_4^+ , NO_2^- , NO_3^-) نسبتاً دارای تغییرات گسترده‌ای است. درصد اجزای ترکیبات نیتروژنی نسبت به ازت معدنی در مناطق و فصول مختلف در سال متفاوت است، به طوری که درصد NH_4^+ , NO_2^- و NO_3^- به ترتیب برابر با ۹ تا ۹۸، از ۰/۲ تا ۲۸/۲ و از ۰/۰ تا ۹۰/۰ درصد متغیر بوده است. درصد DIN کمتر از ۱۵ درصد و مقدار DON بیش از ۸۰ درصد بوده است. به طور کلی، نتایج نشان داد که ازت آلی نسبت به سال قبل کاهش نشان داد اما آمونیم، نیترات و سیلیس محلول افزایش داشته است. فسفر معدنی و نیتریت تغییر قابل ملاحظه‌ای نداشته‌اند. همچنین در سال قبل از ورود شانه دار، بومسامانه‌ی دریای خزر دارای محدودیت نیتروژنی برای رشد فیتوپلانکتون بوده است، درحالی که بر طبق نتایج حاصل از تحقیق حاضر، به نظر می‌رسد که بومسامانه‌ی موردنظر علاوه بر شرایط محدودیت نیتروژنی ($\text{N}/\text{P} < ۱۰$)، به سمت محدودیت فسفری ($\text{N}/\text{P} > ۲۰$) نیز سوق پیدا کرده است.

کلمات کلیدی: مواد معدنی، آب، سواحل ایران، دریای خزر.

۱. مقدمه

دریای خزر به مقایسه پارامترهای مذکور با سال‌های قبل که دارای ایستگاه‌های مشترک بوده‌اند، پرداخته می‌شود.

۲. مواد و روش‌ها

نمونه آب از سطح (عمق ۳۰ تا ۵۰ سانتی متر) و اعماق ۵، ۱۰، ۲۰، ۵۰ و ۱۰۰ متر با استفاده از نمونه بردار ۲ لیتری نیسکین در ترانسکت‌های آستانه، ارزلی، سفید رود، تنکابن، نوشهر، بابلسر، امیر آباد و بندر ترکمن و ایستگاه‌ها و فضول مختلف (بهار، تابستان، پاییز و زمستان) جمع‌آوری شد (شکل ۱). غلظت ازت آمونیمی (NH_4^+ /N) به روش ایندوفنل (Solrozano, APHA, 1969)، ازت نیتریتی (NO_2^- /N) به روش نفتیل آمین (APHA, 2005)، ازت نیتراتی (NO_3^- /N) به روش ستون کاہشی (Murphy and Riley, 2005)، فسفر معدنی به روش مولیدات (Sapozhnikov et al., 1962) و سیلیس محلول به روش کمپلکس زرد (Yurkovskis, 1988 et al., 2004) اندازه‌گیری گردید. همچنین ازت و فسفر کل به روش فرایند هضم (Valderrama, 1981) اندازه‌گیری شد. از مجموع غلظت ازت آمونیمی، نیتریتی و نیتراتی، غلظت ازت معدنی (DIN) به دست می‌آید. همچنین غلظت ترکیب ازت آلی (DON) از تفاصل ازت کل (TN) و ازت معدنی محاسبه گردید (Yurkovskis, 2004). همچنین غلظت فسفر آلی (DOP) از تفاصل فسفر کل (TP) از فسفر معدنی (DIP) محاسبه شد (Yurkovskis, 2004). در ضمن pH آب با دستگاه پرتاپل اندازه‌گیری گردید.

داده‌های مواد مغذی بر اساس فرایندهای لگاریتم طبیعی / پایه ۱۰ و رتبه بندی انتقال داده و سپس با رسم نمودار Q-Q نرمال بودن آن تایید شد (Siapatis et al., 2008). سپس روش پارامتریک برای تجزیه و تحلیل آماری داده‌های نرمال شده به کار برده شد. آنالیز واریانس (ANOVA) و آزمون تی (-Test) برای مقایسه تفاوت‌های موجود در پارامترهای ماکرونوترینت در میان لایه‌های آب، بین مناطق نوری و غیر نوری و همچنین بین دوره‌های مختلف مورد استفاده قرار گرفت. به علاوه از ضریب همبستگی پیرسون برای یافتن ارتباط بین پارامترها استفاده شد. آنالیز واریانس، آزمون تی و ضریب همبستگی پیرسون با استفاده از SPSS v11.5 انجام گردید. در این مطالعه نیز از آنالیز توابع متعارف تفکیک کننده (CDFA) که یکی از روش‌های آماری چند متغیره است جهت تمایز بین

دریای خزر در مرز اروپا و آسیا قرار گرفته است. این دریا تقریباً محصور با مساحت ۳۹۰۰۰ کیلومتر مربع بزرگ‌ترین دریاچه در جهان محسوب می‌شود. تغییرات فصلی در غلظت‌های مواد مغذی در مناطق مختلف از دریای خزر، عمدتاً به دلیل تفاوت در ورودی مواد مغذی در این مناطق است.

منابع اصلی مواد مغذی در مناطق کم عمق خزر شمالی به دلیل وجود رواناب رودخانه‌ای و رسوبات است. در حالی که در مناطق خزر مرکزی و جنوبی، انتقال افقی توده‌های آبی در حال حرکت از مناطق همجوار و تبادل آب بین سطح عمودی و لایه‌های زیرین آب به عنوان منابع اصلی ورود مواد مغذی محسوب می‌گردد. در منطقه عمیق، تبادل عمودی به سمت بالا به عنوان عامل اصلی ورود بالای مواد مغذی محسوب می‌شود (Sapozhnikov et al., 2006). به میزان ۹۵٪ مواد مغذی سالانه ازت و فسفر ورودی به دریای خزر به وسیله‌ی رودخانه و لگا (روسیه). ۲٪ به وسیله‌ی رودخانه‌های آذربایجان، ۱٪ از طریق رودخانه‌های ایران و به ترتیب ۷٪ و ۹٪ از رودخانه‌های قراقستان و ترکمنستان تأمین می‌گردد. همچنین بر اساس مطالعات مختلف، دریای خزر به عنوان بوم‌سامانه با محدودیت نیتروژنی برای رشد فیتوپلانکتون مطرح است، مگر در ورودی رودخانه‌ها (رودخانه و لگا) که عامل محدود کننده فسفر است (Kosarev, 1994 and Yablonskya, 1994). مطالعات گوناگونی در سالیان متعدد در نواحی شمالی و مرکزی دریای خزر به وسیله‌ی اتحاد جماهیر شوروی سابق صورت گرفته است (Aladin and Plotnikov, 2004).

مطالعات منسجم برای اولین بار در حوزه‌ی ایرانی دریای خزر، در مرکز تحقیقات شیلاتی مازندران طی سال‌های ۱۳۷۳ تا ۱۳۷۴ با همراهی کارشناسان روسی در اعماق مختلف و به منظور اندازه‌گیری عوامل آب‌شناختی (هیدرولوژیکی) و هیدروبیولوژیکی انجام شده است (پورغلام و همکاران، ۱۳۷۴). سپس این مطالعات در سال‌های بعدی به وسیله‌ی پژوهشکده اکولوژی دریای خزر (موسسه تحقیقات شیلات) در سال‌های مختلف ادامه یافته است (لالوئی و همکاران، ۱۳۸۳؛ هاشمیان و همکاران، ۱۳۸۸؛ حسینی و همکاران، ۱۳۸۹؛ رستمیان و همکاران، ۱۳۸۹؛ واحدی و همکاران، ۱۳۸۹). در این بررسی علاوه بر بررسی نحوه توزیع ماکرونوترینت‌ها در منطقه‌ی جنوبی

به ترتیب به فصول بهار و پاییز مربوط است. نتایج نشان داد که میانگین غلظت DIN بین فصول مختلف معنی‌دار بوده است ($p < 0.05$) و بر اساس آزمون دانکن در سه گروه بهار، پاییز و تابستان- زمستان قرار می‌گیرد (جدول ۱). نتایج نشان می‌دهد که درصد ازت آمونیمی در تمام فصول بیش از درصد ازت نیتراتی است. درصد ازت نیتراتی در فصل تابستان کمینه است و در زمستان به حداقل مقدار خود می‌رسد و این افزایش تا بهار ادامه دارد.

حداقل غلظت ازت آلی (DON) در لایه‌ی نوری مربوط به فصول زمستان و حداقل آن در سه فصل دیگر مشاهده گردید. نتایج نشان داد که میانگین غلظت DON بین فصول مختلف معنی‌دار بوده است ($p < 0.05$) و بر اساس آزمون دانکن در دو گروه بهار - پاییز - تابستان و زمستان قرار می‌گیرند (جدول ۱). درصد ازت آلی ($87-90\%$ درصد) در تمام فصول بیش از درصد ازت معدنی ($10-14\%$ درصد) است. درصد ازت معدنی در فصل بهار کمینه و در فصل پاییز بیشینه است. حداقل و حداقل ازت آلی عکس حالت ازت معدنی است.

حداقل غلظت فسفر معدنی (DIP) در لایه‌ی نوری در فصل بهار و حداقل آن در تابستان مشاهده گردید. نتایج نشان داد که میانگین غلظت DIP بین فصول مختلف معنی‌دار بوده است ($p < 0.05$) و بر اساس آزمون دانکن در سه گروه بهار - زمستان، تابستان و پاییز قرار گرفتند (جدول ۲). حداقل غلظت فسفر آلی (DOP) در لایه‌ی نوری مربوط به فصول زمستان و حداقل آن در بهار مشاهده گردید. نتایج نشان داد که میانگین غلظت DOP بین فصول مختلف معنی‌دار بوده است ($p < 0.05$) و بر اساس آزمون دانکن در سه گروه بهار، پاییز - تابستان، و زمستان قرار گرفتند (جدول ۲).

نتایج نشان می‌دهد که درصد فسفر آلی ($65-82\%$ درصد) در تمام فصول بیش از درصد فسفر معدنی ($35-48\%$ درصد) است. به علاوه، در فصل بهار درصد فسفر معدنی حداقل است و در تابستان به حداقل می‌رسد. حداقل و حداقل فسفر آلی عکس روند فسفر معدنی است. حداقل غلظت سیلیس محلول (DSi) در لایه‌ی نوری مربوط به فصول بهار و پاییز و حداقل آن در فصول تابستان و زمستان مشاهده گردید. نتایج نشان داد که میانگین غلظت DSi بین فصول مختلف معنی‌دار بوده است ($p < 0.05$) و بر اساس آزمون دانکن در دو گروه بهار- پاییز و تابستان - زمستان قرار گرفتند (جدول ۲).

فصلول بر اساس پارامترهای مواد مغذی استفاده شد. (Schoer, 1985; Buckley and Winters, 1992; Padro et al., 1993; Moncheva et al., 2001)



شکل ۱: ایستگاه‌های نمونه‌برداری به همراه نام ترانسکت‌ها در حوزه‌ی جنوبی دریای خزر (سال ۱۳۸۸)

۳. نتایج

تغییرات مواد مغذی نیتروژنی در فصول مختلف حوزه‌ی جنوبی دریای خزر در جدول ۱ نشان داده شده است. حداقل و حداقل غلظت یون آمونیم در لایه‌ی نوری به ترتیب به فصول بهار و پاییز مربوط است. نتایج نشان داد که میانگین غلظت ازت آمونیمی بین فصول مختلف معنی‌دار بوده است ($p < 0.05$) و بر اساس آزمون دانکن فصول بهار و زمستان در یک گروه و تابستان و پاییز در گروه دیگر قرار گرفتند. در ضمن میانگین ازت آمونیمی در لایه نوری و غیر نوری متفاوت بوده است.

حداکثر غلظت ازت نیتریتی در لایه‌ی نوری به ترتیب به فصل زمستان مربوط است (جدول ۱). نتایج نشان داد که میانگین غلظت ازت نیتریتی بین فصول مختلف معنی‌دار بوده است ($p < 0.05$) و بر اساس آزمون دانکن فصول در دو گروه بهار - پاییز - تابستان و زمستان قرار گرفتند. در ضمن میانگین ازت نیتریتی در لایه نوری و غیر نوری متفاوت نبوده است.

حداقل و حداکثر غلظت ازت نیتراتی در لایه‌ی نوری به ترتیب به فصول تابستان و زمستان مربوط است (جدول ۱). نتایج نشان داد که میانگین غلظت ازت نیتراتی بین فصول مختلف معنی‌دار بوده است ($p < 0.05$). بر اساس آزمون دانکن فصول در سه گروه بهار- پاییز، تابستان و زمستان قرار گرفتند. حداقل و حداکثر غلظت ازت معدنی (DIN) در لایه‌ی نوری

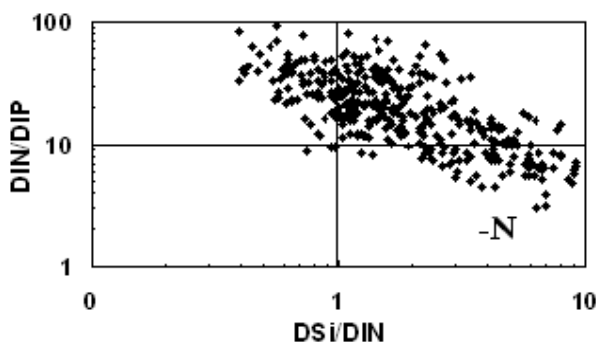
جدول ۱: تغییرات مواد مغذی نیتروژنی (میکرومولا) به همراه خطای استاندارد (SE) در فصول مختلف در سواحل ایرانی حوزه جنوبی دریای خزر در سال ۱۳۸۸

سالانه	زمستان	پاییز	تابستان	بهار	پارامترها
۷/۱۷±۰/۱۱	۲/۵۶±۰/۲۰ a	۴/۱۱±۰/۲۳b	۲/۷۴±۰/۲۰ b	۲/۱۹±۰/۱۶a	Mean±SE
	-۰/۰-۷/۵۵	-۰/۳۷-۰/۱۸	-۰/۹۷-۰/۶۸	-۰/۳۴-۰/۱۵	Min.-Max.
۷/۶۶±۰/۲۱	۳/۰۹±۰/۵۴ ab	۲/۷۰±۰/۴۴ab	۳/۳۷±۰/۳۴ b	۱/۴۸±۰/۱۲a	Mean±SE
	-۰/۵۶-۰/۴۷	-۰/۲۷-۰/۰۸	-۰/۸۰-۰/۹۲	-۰/۳۴-۰/۱۳	Min.-Max.
-۰/۸±۰/۰۰	-۰/۱۲±۰/۰۱ b	-۰/۷±۰/۰۱a	-۰/۷±۰/۰۱ a	-۰/۷±۰/۰۱a	Mean±SE
	-۰/۰-۰/۰۴	-۰/۰-۰/۰۶	-۰/۰-۰/۰۳	-۰/۰-۰/۰۴	Min.-Max.
-۰/۰۸±۰/۰۱	-۰/۱۳±۰/۰۲ b	-۰/۶±۰/۰۱ a	-۰/۸±۰/۰۱ a	-۰/۰۵±۰/۰۱ a	Mean±SE
	-۰/۰-۰/۰۲۸	-۰/۰-۰/۰۶	-۰/۰-۰/۰۶	-۰/۰-۰/۰۶	Min.-Max.
۱/۰۵±۰/۰۷	۲/۰۷±۰/۱۵ c	۱/۶۶±۰/۱۷a	۱/۰۲±۰/۰۷ b	۱/۴۶±۰/۰۹a	Mean±SE
	-۰/۱۹-۰/۳۲	-۰/۰-۰/۰۸	-۰/۰-۰/۰۹	-۰/۰-۰/۰۶	Min.-Max.
۱/۰۵±۰/۱۲	۱/۰۳±۰/۲۰ c	۱/۷۹±۰/۲۲b	۱/۰۴±۰/۰۵a	۱/۵۵±۰/۰۶ab	Mean±SE
	-۰/۵۴-۰/۴۷	-۰/۲۹-۰/۰۷	-۰/۲۲-۰/۱۷	-۰/۸-۰/۰۵	Min.-Max.
۴/۸۱±۰/۱۳	۷/۸۴±۰/۲۶ b	۵/۸۳±۰/۱۷c	۴/۸۳±۰/۲۲ b	۳/۷۲±۰/۰۲ a	Mean±SE
	-۰/۹۷-۱۲/۵۶	-۱/۰-۱۳/۷۷	-۱/۲۵-۱۰/۵۵	-۰/۸-۰/۷۸	Min.-Max.
۴/۰۹±۰/۲۵	۰/۰۴±۰/۰۶ b	۴/۰۵±۰/۰۷ab	۴/۴۹±۰/۰۴ b	۳/۰۸±۰/۰۲ a	Mean±SE
	-۱/۲۲-۱۱/۱۴	-۱/۳۳-۰/۷۹	-۱/۷۵-۰/۶۶	-۰/۸۸-۰/۰۵	Min.-Max.
۲۹/-۰/۰۷	۲۵/-۰/۰۷ b	۳۰/-۰/۰۷a	۳۰/-۰/۰۱ a	۳۰/-۰/۰۱a	Mean±SE
	-۱/۰-۰/۴۲	-۰/۹-۰/۸۷	-۰/۹-۰/۸۷	-۰/۹-۰/۸۷	Min.-Max.
۲۷/-۰/۱۳	۲۴/-۰/۰۱۲	۲۷/۴±۰/۱	۲۹/۷±۰/۰۵	۲۸/۳±۰/۰۸	Mean±SE
	-۱/۰-۰/۴۰	-۰/۰-۰/۶۹	-۰/۰-۰/۵۷	-۰/۰-۰/۶۷	Min.-Max.

جدول ۲: تغییرات مواد مغذی فسفر و سیلیس (میکرومولا) به همراه خطای استاندارد (SE) در فصول مختلف در سواحل ایرانی حوزه جنوبی دریای خزر (سال ۱۳۸۸)

سالانه	زمستان	پاییز	تابستان	بهار	پارامترها
-۰/۲۴±۰/۰۱	a-۰/۲۲±۰/۰۱	c-۰/۲۵±۰/۰۱	b-۰/۲۹±۰/۰۱	a-۰/۱۹±۰/۰۱	Mean±SE
	-۰/۰-۰/۰۷	-۰/۰-۰/۰۳	-۰/۱۵-۰/۰۳	-۰/۰-۰/۰۷	Min.-Max.
-۰/۲۳±۰/۰۱	-۰/۲۲±۰/۰۲	-۰/۲۷±۰/۰۳	-۰/۲۵±۰/۰۲	-۰/۱۹±۰/۰۲	Mean±SE
	-۰/۰-۰/۰۴۲	-۰/۰-۰/۰۴۷	-۰/۱۵-۰/۰۴۷	-۰/۰-۰/۰۴۱	Min.-Max.
-۰/۰۶±۰/۰۲	c-۰/۴۹±۰/۰۲	b-۰/۵۴±۰/۰۲	bc-۰/۵۷±۰/۰۲	a-۰/۰۸±۰/۰۵	Mean±SE
	-۰/۰-۰/۱۰	-۰/۲۱-۰/۳۱	-۰/۲۷-۰/۲۳	-۰/۱۴-۰/۲۴	Min.-Max.
-۰/۰۵±۰/۰۴	-۰/۰۵±۰/۰۴	-۰/۰۹±۰/۰۴	-۰/۰۹±۰/۰۵	-۰/۰-۰/۱۲	Mean±SE
	-۰/۲۷-۰/۳۳	-۰/۲۶-۰/۱۲	-۰/۲۷-۰/۱۱	-۰/۲۲-۰/۰۱	Min.-Max.
۸/۲۲±۰/۰۲	b۹/۱۶±۰/۰۴	a۷/۰-۰/۰۷/۳۷	b۹/۲۲±۰/۰۵۳	a۷/۱۱±۰/۰۳۷	Mean±SE
	-۳/۱۰-۰/۸۹	-۲/۸-۰/۲۲/۰	-۳/۸۰-۰/۲۷۹۰	-۲/۷۰-۰/۱۹۳۰	Min.-Max.
۱۰/۰۹±۰/۰۵	۸/۸۵±۰/۰۱	۱/۱۲±۰/۱۲	۱۰/۰۸±۰/۱۲	۱/۰/۶۹±۰/۰۷	Mean±SE
	-۲/۰-۰/۱۹۶۰	-۳/۷-۰/۲۲/۰	-۴/۰-۰/۲۲۵۰	-۴/۰-۰/۱۸۲۰	Min.-Max.

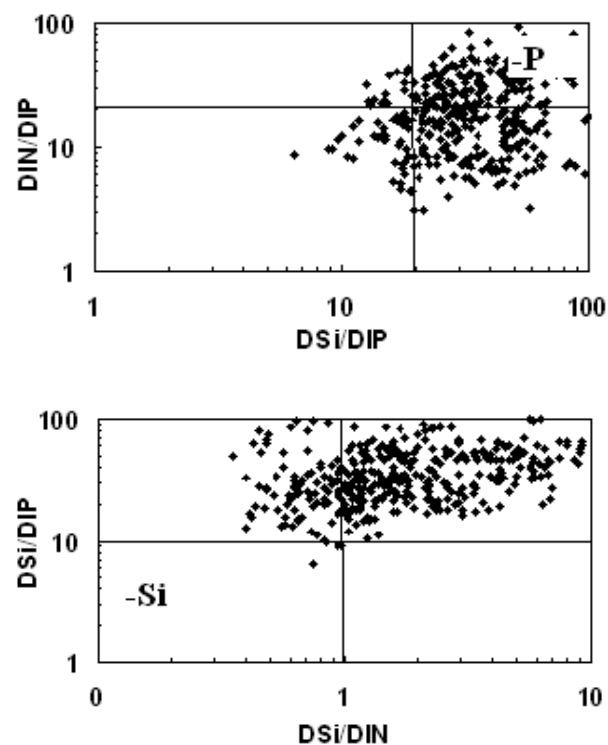
فصل بهار و زمستان را با تابستان و پاییز جدا می کند و دومین تابع متعارف تفکیک کننده (CDF2، خط افقی) با واریانس ۳۱٪ زمستان را با دیگر فصول تفکیک می کند (نمودار ۲).



تغییرات نسبت‌های مولی مواد مغذی در لایه نوری در حوزه جنوبی دریای خزر در نمودار ۱ نشان داده شده است. با توجه به نسبت‌های که ارائه شده است، مشخص می‌گردد که محدودیت نیتروژنی، فسفری و سیلیسی برای فیتوپلانکتون به ترتیب در ربع‌های چهارم، اول و سوم است. این نمودار نشان می‌دهد که کمترین نقاط یا داده‌ها در ربع چهارم است، در صورتی که بیشترین نقاط در ربع اول بوده است.

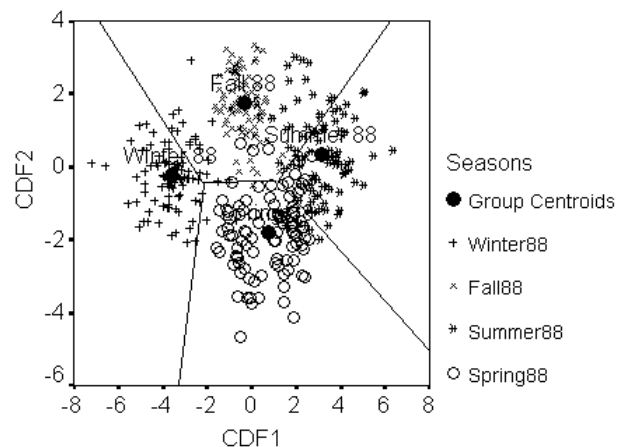
آنالیز آماری توابع متعارف تفکیک کننده (CDFA) نشان می‌دهد که بر اساس پارامترهای مواد مغذی آب فصول مختلف به چهار فصل تفکیک شده است. این نمودار نشان می‌دهد که اولین تابع متعارف تفکیک کننده (CDF1، خط عمودی) با واریانس ۶۳٪

و جنوبی مواد مغذی نسبتاً کمی در چرخه قرار می‌گیرند و این مقدار متکی بر چرخش داخلی و ورود از رودخانه‌های کوچک و بارش باران است. تغییرات غلظتی ازت آمونیمی (NH_4^+ /N) در مناطق مختلف دریای خزر متفاوت است و به همین دلیل، مقادیر حداقل و حداکثر در فصول مختلف مشاهده می‌گردند. Dumont (1998) گزارش کرده است که حداقل غلظت ازت آمونیمی در خزر شمالی و مرکزی در زمستان و حداکثر آن را در تابستان ثبت گردیده است. بنا بر نتایج Leonov و Stygar (2001)، غلظت NH_4^+ آب در فصل‌های بهار و پاییز به دلیل فعالیت‌های بالای آبزیان (در منطقه خزر شمالی) افزایش می‌یابد. Nasrollahzadeh و همکاران (2008) گزارش کردند که حداکثر غلظت ازت آمونیمی در مرحله‌ی اول (قبل از ورود شانه دار) (۱۹۹۶-۹۷) در فصول بهار و زمستان و در مرحله‌ی دوم (بعد از ورود شانه دار) (۲۰۰۵) در پاییز در حوزه جنوبی دریای خزر مشاهده گردید. در تحقیق حاضر حداکثر غلظت ازت آمونیمی در فصل پاییز مشاهده گردید. نتایج مشابه در گزارش Nasrollahzadeh و همکاران (2008) در مرحله‌ی دوم و تحقیق حاضر بیان کننده تشابه شرایط بوم‌سامانه‌ی حوزه‌ی جنوبی دریای خزر از منظر حضور شانه دار در این دو دوره زمانی است. در مرحله‌ی اول مطالعه Nasrollahzadeh و همکاران (2008) شانه دار وجود نداشت و بوم‌سامانه‌ی دریای خزر حالت پایدارتری داشت، به طوری که با نتایج Leonov و Stygar (2001) در فصل بهار مشابه بوده است. Nasrollahzadeh و همکاران (2008) گزارش کردند که افزایش غلظت ازت آمونیمی در مرحله دوم (۲۰۰۵) ۱/۵ برابر مرحله اول (۱۹۹۶-۹۷) بوده است. با مقایسه این نتایج با تحقیق حاضر می‌توان دریافت که افزایش غلظت ازت آمونیمی در سال ۱۳۸۸ (11 ± 0.11) در اعماق مشابه (۱۰ تا ۱۰۰ متر) نسبت به مرحله اول (10.2 ± 1.10) و دوم (15.3 ± 1.19) به ترتیب $3/1$ و $2/1$ برابر بوده است. این افزایش بر فزومنی فعالیت‌های زیست‌شناختی در این منطقه دلالت دارد. همچنین مقایسه نتایج تحقیق حاضر (11 ± 0.17) با نتایج به دست آمده در سال ۱۳۸۷ (14.6 ± 0.4) (واحدی و همکاران، ۱۳۸۹) در حوزه‌ی جنوبی دریای خزر افزایش معنی‌داری را نشان می‌دهد. در تحقیق حاضر غلظت ازت آمونیمی در تمام فصول (به غیر از فصل زمستان) نشان می‌دهد که در لایه‌ی نوری به دلیل فعالیت‌های زیست‌شناختی بالا، نسبت به لایه‌ی غیر نوری بالاتر بوده است. Shiganova و همکاران (2003) بیان نمود که در خزر



نمودار ۱: ترسیم پراکنده نسبت‌های مولی مواد مغذی در لایه‌ی نوری حوزه‌ی جنوبی دریای خزر در سال ۱۳۸۸

Canonical Discriminant Functions



نمودار ۲: نقشه منطقه‌ای. توابع متعارف تفکیک‌کننده فصول مختلف بر اساس پارامترهای و مواد مغذی در سواحل ایرانی حوزه‌ی جنوبی دریای خزر در سال ۱۳۸۸

۴. بحث و نتیجه‌گیری

Dumont (1998) گزارش کرد که سطح مواد مغذی در دریای خزر حتی در خزر شمالی نیز پایین است. در مناطق خزر مرکزی

بومسامانه‌های آبی بسیار سریع صورت می‌گیرد. همچنین آمونیوم منبع ازت ترجیح داده برای بیشتر جلبک‌ها است زیرا جلبک می‌تواند ترکیب آمونیوم (جذب) را به طور مستقیم به اسیدهای آمینه تبدیل کند. لذا به دلیل اولویت NH_4^+ به نیترات، غلظت آمونیوم معمولاً زیر ۱ میکرو مولار است. اما در تحقیق حاضر که بومسامانه‌ی مورد نظر از سوی شانه‌دار تحت شرایط غیر طبیعی قرار دارد، ازت آمونیومی در اکثر فضول‌دارای درصد بالاتری نسبت به سایر اجزای ترکیبات ازت معدنی بوده است.

غلظت ازت نیتریتی اغلب کمتر از 0.4 mg/L میکرو مولار است. غلظت بالاتر ازت نیتریتی را می‌توان در آب کم‌اسیژن و جایی که نیتریفیکاسیون^۱ باکتریایی رخ می‌دهد مشاهده کرد (Carpenter and Capone, 1983; Nasrollahzadeh et al., 2008). در تحقیق حاضر غلظت یون ازت نیتریتی ($0.08 \pm 0.01 \text{ mg/L}$) به دلیل بالا بودن اسیژن محلول در لایه‌های بالایی (نوری) و پایینی (غیر نوری) بسیار پایین بوده است. این غلظت پایین نشان می‌دهد که فرآیند اکسیداسیون نیتریت به نیترات و عمل احیای یون نیتریت به آمونیم در حوزه جنوبی دریای خزر به خوبی صورت می‌گیرد.

Nasrollahzadeh (2008) گزارش کرد که افزایش غلظت ازت نیتراتی مرحله دوم (2005) ۲/۲ برابر مرحله اول (1996-۹۷) بوده است. با مقایسه این نتایج با تحقیق حاضر می‌توان دریافت که افزایش غلظت ازت نیتراتی در سال ۱۳۸۸ (تحقیق حاضر، ۰/۰۷ ± 0.02 در عمق‌های مشابه ۱۰ تا ۱۰۰ متر) نسبت به مرحله اول (۰/۰۴ ± 0.08) افزایش و اما در مرحله دوم (0.07 ± 0.01) کاهش داشته است (این افزایش و کاهش به دلیل درصد بیشتر یون آمونیم نسبت به نیترات بوده است). همچنین مقایسه نتایج تحقیق حاضر (0.07 ± 0.02) با نتایج بدست آمده در سال ۱۳۸۷ (0.03 ± 0.02) (واحدی و همکاران، ۱۳۸۹) افزایش معنی‌داری را نشان می‌دهد ($p < 0.05$). غلظت سالانه ازت معدنی ($\text{NH}_4^+, \text{NO}_3^-$) در سال ۱۳۸۸ نسبتاً دارای تغییرات گسترده‌ای بوده است. درصد اجزای ترکیبات نیتروژنی نسبت به ازت معدنی در مناطق و فضول مختلف در سال متفاوت است، به طوری که طی سال ۱۳۸۸ درصد NH_4^+ , NO_3^- و NO_2^- به ترتیب از ۹ تا ۹۸، ۰/۲ تا ۲۸/۲ و ۰/۰ تا ۹۰/۰ درصد متغیر است. نتایج مشابهی را Leonov و Stygar (2001) در مناطق شمالی، مرکزی و جنوبی گزارش کردند.

شمالی همبستگی مثبتی بین حداکثر فراوانی شانه‌دار و غلظت ازت آمونیمی وجود دارد، یعنی با حضور و افزایش شانه‌دار غلظت ازت آمونیمی فروزنی می‌یابد که با نتایج تحقیق حاضر در خزر جنوبی که شانه‌دار حضور دارد (Roohi et al., 2009) نیز مطابقت دارد. همچنین مقایسه بین سال‌های حضور و عدم حضور شانه‌دار نیز چنین نتیجه‌ای را نشان می‌دهد. شایان ذکر است که آنالیز آماری دانکن بر روی داده‌های نرمال شده ازت آمونیومی در فضول مختلف نشان داد که دو گروه ایجاد شده شامل بهار- زمستان و تابستان- پاییز بوده است. از سوی دیگر حداقل‌های غلظت ازت آمونیمی در فضول بهار و زمستان بوده است و حداکثرها در فضول پاییز و تابستان مشاهده گردیده است که با حداقل و حداکثر فراوانی شانه‌دار مطابقت دارد (Rostamian and همکاران، ۱۳۸۹). به جز در شرایط بسیار قلیایی ($\text{pH} > 9.0$) که یون آمونیم به فرم آمونیاک (NH_3) وجود دارد، بیشتر ازت آمونیمی در آب به فرم یونی آن یعنی آمونیوم (NH_4^+) وجود دارد (Carpenter and Capone, 1983) و ایستگاه‌ها، میزان pH در محدوده ۸-۹ بوده است بنابراین می‌توان انتظار داشت که ازت آمونیمی در آب به فرم یون آمونیم باشد. تغییرات ازت آمونیمی علاوه بر pH ، از دمای آب نیز متأثر است. نتایج سال ۱۳۷۵ نشان داد که ضریب همبستگی ازت آمونیمی با دما و pH به ترتیب برابر -0.196 و -0.388 بوده است؛ به بیان دیگر با افزایش دما و pH غلظت ازت آمونیمی کاهش می‌یابد. در نتیجه می‌توان بیان نمود که این ارتباط در زمانی که بومسامانه‌ی دریای خزر پایدار بوده، حاکم بوده است. البته این ضرایب پس از ورود شانه‌دار که بومسامانه‌ی خزری را دچار اختلال کرده، تغییر کرده است. به طوری که ضریب همبستگی ازت آمونیمی با دما و pH به ترتیب برابر 0.207 و 0.146 گردیده است و به بیان دیگر با افزایش دما و pH غلظت ازت آمونیمی افزایش می‌یابد، زیرا از سویی با افزایش دما، فراوانی شانه‌دار که مواد مغذی ترشح می‌کند افزایش می‌یابد و از سوی دیگر با افزایش pH تولیدات زیست‌شناسختی (شانه‌دار) نیز زیاد می‌شود که به تبع آن غلظت ازت آمونیمی بیشتر می‌شود. آمونیوم منع مهم نیتروژنی برای باکتری‌ها، جلبک‌ها ماکروسکوپی و گیاهان دریایی در آب شیرین و هر بومسامانه‌ی دریایی است. به علاوه اگرچه غلظت آن بسیار متغیر است، اما معمولاً کم است زیرا همان طوری که Vorgelegt (2002) عنوان کرد، حجم مبادلات ازت آمونیمی نسبت به ازت ازت نیتراتی در

^۱ Nitri Fication

در سال ۱۳۸۸ (تحقیق حاضر، $۰/۰۲\pm۰/۰۱$) در اعمق مشابه (۱۰ تا ۱۰۰ متر) نسبت به مرحله اول ($۰/۰۳۷\pm۰/۱۰$) و دوم ($۰/۰۷۰\pm۰/۱۹$) به ترتیب $۱/۶$ و $۳/۰$ برابر بوده است. همچنین نتایج تحقیق حاضر ($۰/۰۲۲\pm۰/۰۱$) با نتایج به دست آمده در سال ۱۳۸۷ ($۰/۰۲۲\pm۰/۰۴$) توسط واحدی و همکاران (۱۳۸۹) در حوزه‌ی جنوبی دریای خزر اختلاف معنی‌داری را نشان نداد. این روند در ارتباط با DOP نیز حکم‌فرما بوده است و اگرچه میزان DOP نیز نسبت به سال‌های ۱۹۹۶-۹۷ و ۲۰۰۵ کاهش چشمگیری داشته است، اما نسبت به سال قبل ۱۳۸۷ اختلاف معنی‌داری را نشان نداد.

Nasrollahzadeh (2008) گزارش کرد که غلظت DSi در مرحله دوم (2005) تقریباً برابر مرحله اول (1996-97) بوده است. با مقایسه این نتایج با تحقیق حاضر می‌توان دریافت که غلظت DSi در سال ۱۳۸۸ (تحقیق حاضر، $۰/۰۲\pm۰/۰۲$) در اعمق مشابه (۱۰ تا ۱۰۰ متر) نسبت به مرحله اول ($۰/۰۷\pm۰/۱۰$) و دوم ($۰/۰۸۰\pm۰/۱۰$) اختلاف معنی‌داری نداشته است. همچنین نتایج تحقیق حاضر ($۰/۰۲۲\pm۰/۰۲$) با نتایج به دست آمده در سال ۱۳۸۷ ($۰/۰۲۲\pm۰/۰۷$) (واحدی و همکاران، ۱۳۸۹) در حوزه‌ی جنوبی دریای خزر اختلاف معنی‌داری (t-Test) نداشته است. سیلیس محلول (DSi) اساساً غیر یونیزه است و از منظر شیمیایی نسبتاً فعال نیست. با این وجود، دیاتوم‌ها و بعضی از گروه‌های دیگر جلبک با جذب مقادیر زیاد سیلیس محلول آن را در ستز دیواره سلولی خود و یا آب شیرین نقش داشته باشند. در دسترس بودن سیلیس محلول می‌تواند تاثیر بارزی بر گونه‌های غالب جوامع فیتوپلانکتون داشته باشد. در غلظت پایین‌تر از ۵ میکرومولار، بیشتر دیاتوم‌ها نمی‌توانند رقابت موثری با جلبک غیر دیاتومه‌ای (non-siliceous) داشته باشند (Vorgeleg, 2002). در مطالعه حاضر میزان سیلیس محلول (DSi) در تمام فصول بالاتر از این مقدار بوده است. همچنین میانگین سالانه نیز بیش از ۵ میکرومولار بوده است و انتظار می‌رود که در این ناحیه از دریای خزر دیاتومه گروه غالب را تشکیل دهد. چنانکه در مطالعه Nasrollahzadeh (2008) نیز با توجه به بالا بودن میزان DSi گونه غالب حوزه‌ی جنوبی دریای خزر دیاتومه بوده است.

Nasrollahzadeh و همکاران (2008) گزارش کردند که افزایش غلظت ازت آلی (DON) مرحله دوم ($۰/۰۲۰۵$) برابر مرحله اول ($۰/۰۹۶-۰/۰۹۷$) بوده است. با مقایسه این نتایج با تحقیق حاضر می‌توان دریافت که اگرچه افزایش غلظت DON در سال ۱۳۸۸ (تحقیق حاضر، $۰/۰۲۹\pm۰/۰۷$) در اعمق مشابه (۱۰ تا ۱۰۰ متر) نسبت به مرحله اول ($۰/۰۳۰\pm۰/۰۴$) تغییراتی نداشته است، اما نسبت به مرحله دوم ($۰/۰۵۰\pm۰/۰۲$) کاهش نشان می‌دهد. همچنین نتایج تحقیق حاضر ($۰/۰۲۹\pm۰/۰۷$) با نتایج به دست آمده در سال ۱۳۸۷ ($۰/۰۳۷\pm۰/۰۶۷$) توسط واحدی و همکاران (۱۳۸۹) در حوزه‌ی جنوبی دریای خزر کاهش ۲۲ درصدی را نشان می‌دهد و اختلاف میانگین‌ها معنی‌دار بوده است ($p<0/05$). غلظت ازت آلی (DON) نسبت به ازت معدنی (DIN) اغلب بالاتر است، حتی در مناطقی که تصور می‌شود نیتروژن عامل محدود کننده در رشد فیتوپلانکتون‌ها باشد. غلظت بالای ازت آلی در محیط آبی احتمالاً به این دلیل است که ترکیبات DON تا حد زیادی در مقابل تجزیه مقاوم هستند و همچنین در گروه‌های زیادی از فیتوپلانکتون مورد تغذیه قرار نمی‌گیرند. به طور کلی، منابع DON در مکان و زمان‌های مختلف در محیط آبی تغییر می‌کنند و ترکیبات آن نیز به میزان زیادی ناشناخته است. در اقیانوس‌ها، به طور معمول غلظت DON در لایه‌ی نوری بالا است و سپس کاهش یافته و در مناطق عمیق ثابت باقی می‌ماند (Hansell et al., 1993; Libby and Wheeler, 1997; Bronk, 2002; Bronk et al., 2007) در تحقیق حاضر نیز نتیجه مشابه‌ای به دست آمده است؛ به طوری که درصد DIN کمتر از ۱۵ درصد بوده است، در حالی که درصد DON به بیش از ۸۰ رسیده است.

در میان ماکرونوریتین، فسفر اغلب کمترین فراوانی در غلظت (کمتر از $۰/۰۵$ میکرومولار) را دارد. به همین دلیل، غلظت ازت نیتراتی و آمونیومی در بیشتر سامانه‌های دریایی کم است، و نیاز ارگانیسم‌ها به نیتروژن بسیار بیشتر از فسفر است (به نسبت Redfield نگاه کنید)، به طوری که فسفر اغلب به عنوان مواد مغذی محدود کننده در اقیانوس‌ها محسوب نمی‌شود. چرخه‌ی فسفر پیچیده است و بیشتر فسفر در سامانه‌ی پلازیک دریایی در فاز ذرات (موجودات زنده، ریزه) وجود دارد. ارتو فسفات به سرعت توسط موجودات جذب می‌شود. Nasrollahzadeh (2008) گزارش کرد که افزایش غلظت DIP در مرحله دوم (۱۹۹۶-۹۷) برابر مرحله اول (2005) بوده است. با مقایسه این نتایج با تحقیق حاضر می‌توان دریافت که کاهش غلظت DIP

محدودیت نیتروژنی مطرح است، مگر در ورودی رودخانه‌ها (رودخانه ولگا) که عامل محدودکننده فسفر مشاهده می‌شود (Kosarev and Yablonskya, 1994). جدول ۳ نسبت مولی ازت معدنی به فسفر معدنی را در سال‌های مختلف در حوزه‌ی جنوبی دریای خزر نشان می‌دهد. نتایج نشان می‌دهند که بومسامانه‌ی دریای خزر در سال قبل از ورود شانه‌دار دارای محدودیت نیتروژنی برای رشد فیتوپلانکتون بوده است که با نتایج مطالعه بالا مشابه است. همچنین، در دو سه سال بعد از ورود شانه‌دار این روند ادامه پیدا کرد، به‌طوری‌که حوزه‌ی جنوبی دریای خزر محدودیت نیتروژنی داشته است. بومسامانه‌ی دریای خزر در سال ۱۳۸۷ به‌سمت محدودیت نیتروژنی و فسفری ($DIN/DIP < 20$) سوق پیدا کرد تا جایی که شرایط جدیدی در سال ۱۳۸۸ (تحقیق حاضر) حاکم گردید و بومسامانه‌ی مورد نظر علاوه بر شرایط محدودیت نیتروژنی، شرایط محدودیت فسفری ($DIN/DIP > 20$) را نیز تجربه کرده است (نمودار ۱). همچنین میانگین نسبت مولی DSi/DIP در محدوده ۴۰ و ۶۵ متغیر بوده است. این نسبت نشان می‌دهد که این ناحیه از خزر دارای محدودیت سیلیسی برای رشد فیتوپلانکتون نیست (نمودار ۱) که با گزارش دیگران نیز همخوانی دارد.

جدول ۳: تغییرات DIN/DIP در فصول مختلف حوزه‌ی جنوبی دریای خزر در سال‌های مختلف

سال	سالانه	زمستان	پاییز	تابستان	بهار	
۱۳۷۵	$7/1 \pm 0.6$	$8/2 \pm 0.8$	$5/0 \pm 0.2$	$4/5 \pm 0.2$	$1/0 \pm 0.2$	Mean \pm SE
	$-/-37/8$	$-/-14/6$	$-/-0.5$	$-/-0.5$	$-/-0.5$	Min.-Max.
۱۳۸۳-۸۴	$5/1 \pm 0.5$	$6/3 \pm 0.8$	$5/0 \pm 0.7$	$2/8 \pm 0.2$	$5/5 \pm 0.6$	Mean \pm SE
	$6/8-7/9$	$4/0-6/2$	$2/1-4/8$	$2/8-7/5$		Min.-Max.
۱۳۸۷	$15/3 \pm 0.5$	$19/1 \pm 0.3$	$16/2 \pm 0.9$	$11/9 \pm 1/1$	$13/2 \pm 0.7$	Mean \pm SE
	$4/7-6/0$	$5/0-5/3$	$2/8-8/7$	$2/8-8/5$	$2/8-8/5$	Min.-Max.
تحقيق حاضر	$26/5 \pm 1/4$	$28/8 \pm 2/5$	$25/6 \pm 4/2$	$19/1 \pm 1/2$	$22/2 \pm 1/7$	Mean \pm SE
	$3/1-12/9$	$3/9-17/9$	$3/2-6/3$	$3/2-7/8$	$3/2-7/8$	Min.-Max.

محققین در مطالعات مختلف متذکر گردیدند که پارامترهای محیطی بر روی یکدیگر اثر داشته و باید در آنالیزهای آماری در نظر گرفته شوند. در تحقیق حاضر جهت نشان دادن این برهمکنش‌ها از آنالیز چند متغیره توابع متعارف تفکیک کننده (CDFA) که ماتریسی از مشاهدات (داده‌ها) و متغیرها (پارامترها مواد مغذی) است، استفاده شده است. آنالیز آماری توابع متعارف تفکیک کننده (CDFA) بر اساس پارامترهای مواد مغذی آب نیز فصول مختلف را به چهار فصل بهار، تابستان،

نیمه‌ی زمستان و زمستان (C₁₀₆:N₁₆:P₁:Si₁₆) Redfield در اصل یک سنگ بنای انحراف در نسبت این مواد مغذی پلازماکتوفنی است (Harrison et al., 1976, 1977). به بیان دیگر نسبت استوکیومتری^۱ مواد مغذی بر آورد خوبی برای نشان دادن محدودیت رشد فیتوپلانکتون در یک بومسامانه‌ی آبی است (Brzezinski, 1963; Brzezinski et al., 1985). مطالعه روی سینتیک جذب مواد مغذی نشان داد که اگر نسبت مولی DIN/DIP محیط کمتر از ۱۰ باشد نشان دهنده محدودیت نیتروژنی است (Parsons et al., 1961; Healey and Hendzel, 1979; Brzezinski, 1985; Levasseur and Therriault, 1987). در مقابل، اگر DIN/DIP باشد، نشان دهنده محدودیت سیلیسی (Harrison et al., 1976, 1977)؛ در اگر DSi/DIP باشد، نشان دهنده محدودیت فسفری است (Goldman et al., 1979 ; Healey and Hendzel, 1979).

Harrison et al. (1976, 1977), Perry and Eppley (1981) عنوان کردند که محدودیت مواد مغذی بر اساس نسبت آنها باید با در نظر گرفتن حد آستانه‌ی این ترکیبات (ازت، فسفر و سیلیس) همراه باشد. بر اساس مطالعه جذب سینتیکی آنها، میزان آستانه‌ی ترکیبات DSi ، DIN و DSi به ترتیب برابر $1/0$ و 20 میکرومولار است (Dortch and Whitledge, 1992 Rabalais and Turner, 2001; Justic et al., 1995). در تحقیق حاضر مقادیر به دست آمده در مورد DIN/DIP ($1/99$) و DSi ($1/100$) در اکثر فصول بیش از حد آستانه هستند. بنابراین نسبت مولی این ترکیبات می‌تواند مورد سنجش محدودیت رشد فیتوپلانکتون قرار گیرد. در دریای خزر نسبت ازت/فسفر دارای محدوده‌ی بسیار باریکی است و مقادیر آن چند برابر کمتر از دیگر دریاهای است. نسبت سیلیس/فسفر (Si/P) در محدوده ۸ و ۱۰۰ متغیر است. در تمام فصول سال نیتروژن به عنوان عامل محدودکننده در رشد فیتوپلانکتون مطرح بوده است، در حالی که سطح فسفر و سیلیس محلول همیشه بالا باقی می‌ماند (Semenov, 1984). بر اساس مطالعات مختلف، دریای خزر به عنوان بومسامانه‌ای با

^۱ Stoichiometric

کیهان‌ثانی، ع.ر.، ۱۳۸۸. پروژه هیدرولوژی و هیدروبیولوژی و آلودگی‌های زیست محیطی اعمق کمتر از ۱۰ متر حوضه جنوبی دریای خزر، موسسه تحقیقات شیلات ایران.

واحدی، ف.؛ نصرالله تبار، ع.؛ علومی، ی.؛ یونسی پور، ح.؛ الیاسی، ف.؛ نوروزیان، م.؛ دلیناد، غ.ح.، ۱۳۸۹. پروژه بررسی خصوصیات فیزیکی و شیمیایی آب در کرانه‌های جنوبی دریای خزر سال ۸۶ موسسه تحقیقات شیلات ایران.

هاشمیان، ع.؛ روشن طبری، م.؛ روحی، ا.؛ مخلوق، آ.؛ گنجیان، ع.؛ تهامی، ف.؛ رستمیان، م.ت.؛ کیهان ثانی، ع.ر.؛ هاشمیان، ع.؛ سالاروند، غ.ر.؛ افرایی، من.ع.؛ شیخ‌الاسلامی، ع.؛ فراخی، ع.؛ امانی، ق.ع.؛ واحدی، ف.؛ علومی، ی.؛ نصرالله تبار، ع.؛ واردی، ا.؛ نجف پور، ش.؛ سلمانی، ع.؛ غلامی پور، س.؛ یونسی پور، ح.، ۱۳۸۸. پروژه بررسی هیدرولوژی و هیدروبیولوژی و آلودگی‌های زیست محیطی اعمق کمتر از ۱۰ متر حوضه جنوبی دریای خزر در اعمق کمتر از ۱۰ متر، سال ۱۳۸۲-۸۳، موسسه تحقیقات شیلات ایران.

Aladin, N.V. and Plotnikov, I.S., 2004. Impact of invasive species on the Caspian Sea. In: Biological invasions in aquatic and terrestrial ecosystems, St. Petersburg. Moscow, Russian. 231-242 PP.

APHA (American Public Health Association)., 2005. Standard method for examination of water and wastewater. 18th edition. American public health association publisher. Washington, USA. 1113P.

Bronk, D.A., 2002. Dynamics of organic nitrogen. In: Hansell DA, Carlson CA (eds) Biogeochemistry of marine dissolved organic matter. Academic Press San Diego. 153-247 pp.

Bronk, D.A.; See J.H.; Bradley, P. and Killberg, L., 2007. DON as a source of bioavailable nitrogen for phytoplankton. Biogeosciences, 4:283-296.

Brzezinski, M., 1985. The Si:C:N ratio of marine diatoms: interspecific variability and the effect of some environmental variables. Journal of Phycology, 21:347-357.

Buckley, D.E. and Winters, G.V., 1992. Geochemical characteristics of contaminated surficial sediments in Halifax Harbor: Impact of waste discharge. Canadian

پاییز و زمستان تفکیک کرده است. در این آنالیز پارامترهای DOP، DIN، NO₃⁻ و DIP نقش مهمی در تفکیک کردن فضول ایفا کرده‌اند.

۵. سپاسگزاری

این پروژه به وسیله‌ی موسسه تحقیقات شیلات ایران و وزارت جهاد کشاورزی تامین مالی گردید. لذا از پرسنل بخش هیدروشیمی پژوهشکده اکولوژی دریای خزر برای آنالیز نمونه‌ها تشکر می‌شود. همچنین از کاپیتان و خدمه‌ی کشتی تحقیقاتی گیلان جهت همکاری در نمونه‌برداری قدردانی می‌گردد. سرانجام از داوران محترم برای پیشنهادات و نظرات سازنده‌ی خود جهت ارتقا و بهبود کیفیت این مقاله کمال تشکر و سپاسگزاری به عمل آید.

منابع

- بورغلام، ر.؛ روشن طبری، م.؛ سلمانی رودی، ع.؛ مخلوق، آ.؛ تکمیلیان، ک.، روحی، ا.؛ رستمیان، م.ت.؛ گنجیان، ع.؛ واردی، ا.؛ کیهان ثانی، ع.ر.؛ واحدی، ف.؛ نجف‌پور، ش.؛ غلامی پور، س.؛ ح.؛ هاشمیان، ع.؛ تهامی، ف.؛ لالوی، ف.؛ غلامی پور، س.؛ علومی، ی.؛ سالاروند، غ.ر.، ۱۳۷۴. پروژه هیدرولوژی و هیدروبیولوژی سواحل ایرانی حوزه جنوبی دریا ای خزر با همکاری انسیتو تحقیقات کاپنریخ (روسیه) و مرکز تحقیقات شیلات گیلان و مازندران، ۱۳۷۳-۷۴، انتشارات موسسه تحقیقات شیلات ایران.
- حسینی، س.ع.؛ گنجیان، ع.؛ مخلوق، آ.؛ کیهان ثانی، ع.ر.؛ تهامی، ف.؛ روشن طبری، م.؛ تکمیلیان، ک.؛ روحی، ا.؛ هاشمیان، م.؛ واحدی، ف.؛ سبک آراء، ح.؛ خسروی، م.؛ واردی، ا.؛ هاشمیان، م.؛ نجف‌پور، ش.، ۱۳۸۹. پروژه هیدرولوژی و هیدروبیولوژی حوزه جنوبی دریای خزر تا عمق ۸۰۰ متری در سال ۱۳۷۵، موسسه تحقیقات شیلات ایران.
- رستمیان، م.ت.؛ مکمی رستمی، ع.؛ خداپرست، ن.ب.؛ کیهان ثانی، ع.ر.؛ نصرالله تبار، ع.، ۱۳۸۹. پروژه بررسی پراکنش و فراوانی شانه-دار در سواحل ایرانی دریای خزر، موسسه تحقیقات شیلات ایران.
- لالوی، ف.؛ پیری، م.؛ نگارستان، ح.؛ شفیعی‌پور، م.م.؛ زلفی‌نژاد، ک.؛

- Sea. The Hague, SPB Academic Publishing, Russia. 259P.
- Leonov, A.V. and Stygar, O.V., 2001. Mathematical Modeling of Organogenic Material Biotransformation Processes for Studying the Conditions of Water Eutrophication in the Caspian Sea Surface Layer. *Water Resource*, 28:535-552.
- Levasseur, M.E. and Therriault, J.C., 1987. Phytoplankton biomass and nutrient dynamics in a tidally induced upwelling: the role of the $\text{NO}_3:\text{SiO}_4$ ratio. *Marine Ecology Progress Series*, 39:87-97.
- Libby, P. and Wheeler, P., 1997. Particulate and dissolved organic nitrogen in the central and eastern equatorial Pacific. *Deep-Sea Research*, 44:345–361.
- Moncheva, S.; Gotsis-Skretas, O.; Pagou, K. and Krastev, A., 2001. Phytoplankton Blooms in Black Sea and Mediterranean Coastal Ecosystems Subjected to Anthropogenic Eutrophication: Similarities and Differences. *Estuarine, Coastal and Shelf Science*, 53:281-295.
- Murphy, J. and Riley, J.P., 1962. A modified single solution method for the determination of phosphates in natural waters. *Analytical Chimica Acta*, 27:31-36.
- Nasrollahzadeh, H.S., 2008. Ecological modeling on nutrient distribution and phytoplankton diversity in the southern of the Caspian Sea. Ph.D. Thesis. School of Biological Sciences (SBS), University Science Malaysia (USM), Malaysia. 245 P.
- Nasrollahzadeh, H.S.; Din, Z.B.; Foong, S.Y. and Makhlough, A., 2008. Trophic status of the Iranian Caspian Sea based on water quality parameters and phytoplankton diversity. *Continental Shelf Research*, 28:1153– 1165.
- Nelson, D.M. and Brzezinski, M.A., 1990. Kinetics of silicic acid uptake by natural diatom assemblages in two Gulf Stream warm-core rings. *Marine Ecology Progress Series*, 62:283-292.
- Journal of Earth Sciences, 29:2617–2639.
- Carpenter, E.J. and Capone, D.G. (Eds.), 1983. Nitrogen in the marine environment. Academic Press. Kluwer Academic Publishers. Dordrecht/Boston/London. 900P.
- Dortch, Q. and Whitledge, T.E., 1992. Does nitrogen or silicon limit phytoplankton production in the Mississippi River plume and nearby regions?. *Continent Shelf Research*, 12:1293–1309.
- Dumont, H.J., 1998. The Caspian lake: History, biota, structure, and function. *Limnology and Oceanography*, 43(1): 44-52.
- Goldman, J.C., McCarthy, J.J. and Peavey, D.G., 1979. Growth rate influence on the chemical composition of phytoplankton in oceanic waters. *Nature*, 279:210-215.
- Hansell, D.A.; Williams, P.M. and Ward B.B., 1993. Measurements of DOC and DON in the Southern California Bight using oxidation by high temperature combustion. *Deep-Sea Research*, 40:219–234.
- Harrison, P.J.; Conway H.L.; and Dugdale, R.C., 1976. Marine diatoms grown in chemostats under silicate or ammonium limitation. I. Cellular chemical composition and steady state growth kinetics of *Skeletonema costatum*. *Marine Biology*, 35:177–186.
- Harrison, P.J.; Conway, H.L., Holmes, R.W. and Davis, C.O., 1977. Marine diatoms grown in chemostats under silicate or ammonium limitation. III. Cellular chemical composition and morphology of three marine diatoms. *Marine Biology*, 43:19–31.
- Healey, F.P. and Hendzel, L.L., 1979. Fluorometric measurement of alkaline phosphatase activity in algae. *Freshwater Biology*, 9:429– 439.
- Justic, D.; Rabalais, N.N.; Turner, R.E. and Dortch, Q., 1995. Changes in nutrient structure of river-dominated coastal waters: stoichiometric nutrient balance and its consequences. *Estuarine Coastal and Shelf Science*, 40:339–356.
- Kosarev, A.N. and Yablonskaya, E.A., 1994. The Caspian

- Caspian Sea abroad R/V Issledovatel Kaspiya. Oceanology, 46(3): 446-448.
- Schoer, J., 1985. Iron-oxo-hydroxides and their significance to the behavior of heavy metals in estuaries. Environmental Technologies Letters, 6:189-202.
- Semenov, Y., 1984. DIN/DIP and DSi/DIP ratios in the central and southern Caspian Sea. Hydrobiologia, 3:71-73.
- Shiganova, T.A.; Sapozhnikov, V.V.; Musaeva, E.I.; Domanov, M.M.; Bulgakova, Yu, V.; Belov, A.A.; Zazulya, N.I.; Zernova, V.V.; Kuleshov, A.F.; Sokol'skii, A.F.; Imirbaeva, R.I. and Mikuiza, A.S., 2003. Factors determining the conditions of distribution and quantitative characteristics of the ctenophore *Mnemiopsis leidyi* in the North Caspian. Oceanology, 43:676-693.
- Siapatis, A.; Giannoulaki, M.; Valavanis, V.D.; Palialexis, A.; Schismenou, E.; Machias, A. and Somarakis, S., 2008. Modelling potential habitat of the invasive ctenophore *Mnemiopsis leidyi* in Aegean Sea. Hydrobiologia, 612:281–295.
- Solorzano, L., 1969. Determination of ammonia in natural waters by phenolhetpochlorite method. Limnology and Oceanography, 14:799-801.
- Valderrama, J.C., 1981. The simultaneous analysis of total nitrogen and total phosphorus in natural waters. Marine Chemistry, 10:109-122.
- Vorgelegt, V., 2002. Biogeochemical Conversion of Nitrogen in Enclosed Pelagic Coastal Ecosystems of the German Bight: Mesocosm and Modelling Studies. Ph.D. Thesis. University of Hamburg, Germany. 103P.
- Yurkovskis, A., 2004. Long-term land-based and internal forcing of the nutrient state of the Gulf of Riga (Baltic Sea). Journal of Marine Systems, 50:181-197.
- Padro, R.; Barrado, E.; Castrillejo, Y.; Valasco, M.A. and Vaga, M., 1993. Study of the contents and speciation of heavy metals in river sediments by factor analysis. Analytical Letters, 26:1719-1739.
- Parsons, T.R.; Stephens, K. and Strickland, J.D., 1961. On the chemical composition of eleven species of marine phytoplankton. Journal of the Fisheries Research Board Canada, 18:1001-1016.
- Perry, M.J. and Eppley, R.W., 1981. Phosphate uptake by phytoplankton in the central North Pacific Ocean. Deep-Sea Research I, 28:39-49.
- Rabalais, N.N. and Eugene Turner, R., 2001. Coastal Hypoxia: Consequences for Living Resources and Ecosystems. Coastal and Estuarine Studies. American Geophysical Union. USA. 463P.
- Redfeild, A.C.; Ketchum, B.H. and Richards, F.A., 1963. The influence of organisms on the composition of seawater. In: M.N. Hill (eds.) The Sea, Wiley. New York, USA. 26P.
- Roohi, A.; Kideys, A.E.; Sajjadi, A.; Hashemian, A.; Pourgholam, R.; Fazli, H.; Ganjian Khanari, A and Eker-Develi, E., 2009. Changes in biodiversity of phytoplankton, zooplankton, fishes and macrobenthos in the Southern Caspian Sea after the invasion of the ctenophore Mnemiopsis Leidy. Biology Invasions, 12(7): 2343-2361.
- Sapozhnikov, V.N.; Agativa, A.E.; Arjanova, N.V.; Nalitova, E.A.; Mardosova, N.V.; Zobarowij, V.L. and Bandarikov E.A., 1988. Methods of hydrochemical analysis of the major nutrients. VNIRO publisher. Moscow, Russia. 80P.
- Sapozhnikov, V.V.; Katunin, D.N.; Lukyanova, O.N.; Batrak, K.V. and Azarenko, A., 2006. Hydrological and hydrochemical studies in the central and southern